

II-84 静水中に於けるJetの拡散

北海道大学大学院 学生員 枝倉忠興

緒言 著者は第18回年次講演会（昭和38年5月）に於いて、境界が充分滑らかである静水中に拡散する有限集中を有する二次元噴流の流速分布に関する式を提示し実験結果と良く合致する事を示した。本文は表面が粗である場合の噴流の拡散について考察した結果を述べたものである。

1. 粗面上に於ける噴流の拡散

図-1に示す如きに出口から放出された噴流は、周囲の静水に接觸することによって受けた抵抗及び表面による抵抗の二つを受けながら拡散を行なうが、ここではこれら二つの抵抗の全抵抗に対する関係について考察を行なう。

境界以外の主流についてはさきに提示した底面の影響が極めて小であると仮定した二次元自由噴流の場合の理論を適用する。

$$\begin{aligned} u \frac{\partial u}{\partial x} + v \frac{\partial u}{\partial y} &= \frac{1}{\rho} \frac{\partial^2 u}{\partial y^2} = \varepsilon \frac{\partial^2 u}{\partial y^2} \\ \varepsilon &= \varepsilon_s \sqrt{\frac{x}{S}}, \quad \delta = \frac{1}{2} \sqrt{\frac{S U_s}{\varepsilon_s}} \\ \left(\frac{u}{U_s} \right)^2 &= \int_{\frac{1}{2}D-y}^{\frac{1}{2}D-y} \int_0^x f(x\eta+y) \cdot (1 - \tanh^2 \delta \eta)^2 d\eta \end{aligned} \quad \text{(a)}$$

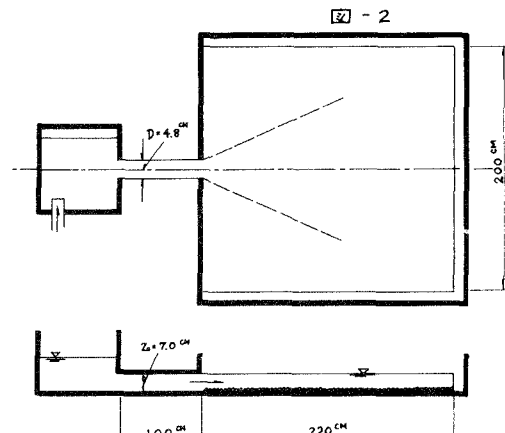
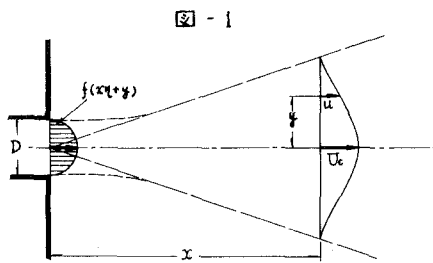
境界内に於ては

$$\int_0^S \rho u^2 dy - U_0 \frac{d}{dx} \int_0^S \rho u^2 dy = - \tau_o$$

$$\frac{\tau_o}{\rho U_0^2} = \frac{d\delta}{dx} - \frac{2\delta^2}{S_* - \delta} \cdot \frac{1}{U_0} \frac{du}{dx} = \frac{C_f}{2}$$

$$S_* = \int_0^S u dy, \quad \delta = \int_0^S u^2 dy$$

従つてここで底面の局部摩擦係数(C_f)が与えられればこれらから二つの抵抗の間の関係を知ることが出来る。



2. 静水中へ拡散する噴流の実験

実験装置の概略を図-2に示す。これは矩形合成樹脂管で導かれ平面水槽内放さされる。水槽の底面には粒径1.2mmの砂をラッカーワーで固定してある。

図-3に噴流中心線上の S_z/Z の変化を示す。 $\frac{X}{D} < 10$ の領域に関しては、導水管影響によるものと思われここでの考察省略する。図-4は同じく中心線上局部摩擦係数 C_f の値を示したものである。ばらつきは大きく遷移領域にあることが判る。

図-5は底面による摩擦抵抗のパラメータとして $\frac{D}{Z}$ をとり、また側面の静水によるそれには $\frac{D}{T}$ をとて二つの抵抗の関係を示したものである。このでの算には C_f が Z に関する一定と仮定し-4の値を使用した。

3. 結果の考察

図-5から明らかに存在 C_f が図-4示す範囲の値と3場合の粗面上拡散する二次元噴流に於ては $\frac{X}{D} = 30 \sim 40$ では Z による影響が著しくその割合はと共に次第に減少し、 $\frac{X}{D} > 30 \sim 40$ の領域では T の影響が大きくなることが判る。

図-6に噴流中心の平均流速の変化を示す。図中の曲線は(4)式によるものである。一般に円形噴流の拡散の場合に $\frac{X}{D} > 36$ で流速が X^{-2} に比例して急激に少する領域の存在が認められておりこれが二次元噴流の場合にも同様のことことが示出来、それに底面の影響が加わっての結果が生ずるものと思われる。

終りに本研究について絶えず懇切に指導下さった岸 力教授に深く感謝の意を表します。

